

©1994 г.

## ИССЛЕДОВАНИЯ ДРЕЙФОВОЙ ПОДВИЖНОСТИ ЭЛЕКТРОНОВ В *a*-Si:H, ЛЕГИРОВАННОМ ФОСФОРОМ

А.Г.Казанский, Д.Г.Яркин

Московский государственный университет им. М.В.Ломоносова, 119899,  
Москва, Россия

(Получена 7 октября 1993 г. Принята к печати 16 декабря 1993 г.)

Исследовано влияние легирования и длительного освещения на дрейфовую подвижность электронов  $\mu_d$  в *a*-Si:H в области температур (100–400) К. Полученные зависимости  $\mu_d(T)$  имеют активационный характер при низких температурах и насыщаются при температурах, близких к комнатной. Величина  $\mu_d$  в области комнатных температур немонотонно изменяется с легированием, возрастаая при малых и уменьшаясь при больших уровнях легирования. Активационный характер зависимостей  $\mu_d(T)$  в области низких температур объясняется в рамках модели эффективного уровня прилипания. Предполагается, что насыщение зависимостей  $\mu_d(T)$  вызвано возрастанием влияния глубоких уровней прилипания с ростом температуры.

Исследование дрейфовой подвижности электронов  $\mu_d$  в *a*-Si:H является одним из способов получения информации о плотности состояний  $N(E)$  в верхней половине щели подвижности. На основании анализа экспериментальных данных, в частности температурных зависимостей дрейфовой подвижности, были предложены две различные модели плотности состояний вблизи края зоны проводимости  $E_c$ , используемые в настоящее время. Первая модель предполагает, что процессы переноса контролируются захватом электронов из зоны проводимости на состояния, расположенные вблизи фиксированного уровня  $E_t$ <sup>[1]</sup>. В соответствии со второй моделью<sup>[2]</sup>, процессы переноса определяются захватом на состояния хвоста плотности состояний (экспоненциальной формы), расположенные вблизи квазиуровня Ферми  $E_f^n$ . В работах<sup>[3,4]</sup> рассмотрены указанные модели и показано, что каждая модель в отдельности не позволяет объяснить всю совокупность полученных экспериментальных данных.

Анализ литературы показывает, что в работах, посвященных изучению дрейфовой подвижности в легированном материале<sup>[5–9]</sup>, на основании использования различных моделей плотности состояний делаются противоречивые выводы о влиянии уровня легирования и длительного освещения на плотность состояний<sup>[10]</sup>. В ряде работ выво-

ды основываются на результатах измерений небольшого количества образцов, кроме того, в различных работах используются различные интервалы температур измерений дрейфовой подвижности. Можно предположить, что необходимость использования для интерпретации результатов измерений различных моделей плотности состояний связана с использованием различных интервалов температур.

При исследованиях дрейфовой подвижности в нелегированных материалах обычно применяется методика, основанная на измерении времени пролета носителей заряда, которая не может быть использована для образцов с высокой проводимостью, в частности легированных пленок *a-Si:H*. Одной из альтернативных методик измерений является методика, основанная на измерении стационарной фотопроводимости и времени фотоответа, полученного из спада фотопроводимости [9]. В то же время измерение наклона начального участка нарастания фотопроводимости  $\Delta\sigma_{ph}$  при возбуждении носителей короткими световыми импульсами  $t < \tau_{ph}$ , где  $\tau_{ph}$  — время фотоответа, позволяет непосредственно определять дрейфовую подвижность, поскольку в этом случае

$$\Delta\sigma_{ph}(t) = e\mu_c \frac{1}{1 + n_t/n} Gt = eG\mu_d t,$$

где  $e$  — заряд электрона,  $G$  — скорость генерации,  $t$  — длительность светового импульса,  $\mu_c$  — микроскопическая подвижность,  $n$  и  $n_t$  — концентрации свободных и захваченных на уровня прилипания носителей. Величина  $\mu_d$  не зависит от времени освещения в случае одного уровня прилипания и может изменяться со временем в том случае, если уровни прилипания распределены по энергии.

В настоящей работе с использованием данной методики были исследованы температурные зависимости дрейфовой подвижности серии пленок *a-Si:H* с различным уровнем легирования фосфором, а также пленок, подвергнутых предварительному освещению. Пленки были получены разложением смеси газов моносилана ( $SiH_4$ ) и фосфина ( $PH_3$ ) в ВЧ тлеющем разряде при температуре подложки из кварца 250 °C. Объемное отношение газов в реакционной камере  $k = [PH_3]/[SiH_4]$  составляло  $10^{-7} - 10^{-4}$ . В качестве источника света использовался гелий-неоновый лазер, излучающий кванты энергии 1.97 эВ. Применяемая механическая модуляция позволила получить импульсы света с интенсивностью  $5 \cdot 10^{16} \text{ см}^{-2} \cdot \text{с}^{-1}$ , длительностью 80 мкс, фронтом нарастания 5 мкс и скважностью 250. Деградация пленок проводилась освещением в течение 0.5 ч светом лампы накаливания интенсивностью 10 мВт/см<sup>2</sup> через тепловой фильтр в случае слабо легированных образцов ( $k = 10^{-6}, 10^{-7}$ ) либо интенсивностью 100 мВт/см<sup>2</sup> в случае сильно легированных образцов ( $k = 10^{-4}, 10^{-5}$ ).

Температурные зависимости дрейфовой подвижности для исследованных образцов изображены на рис. 1. Как видно из рисунка, величина  $\mu_d$  в области комнатных температур немонотонно изменяется с легированием, возрастая при малых и уменьшаясь при больших уровнях легирования. Подобные изменения согласуются с результатами, полученными авторами [10], которые не обнаружили существенного различия величин  $\mu_d$  для нелегированного и сильно легированного *a-Si:H* [5], однако значение  $\mu_d$  для слабо легированных пленок оказалось за-

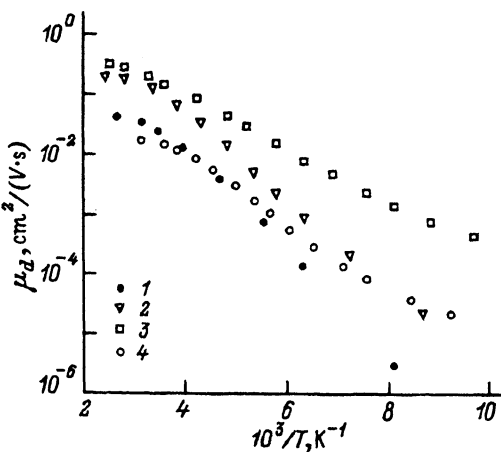


Рис. 1. Зависимости дрейфовой подвижности  $\mu_d$  от температуры для пленок с различным уровнем легирования.

$k: 10^{-7}$  (1),  $10^{-6}$  (2),  $10^{-5}$  (3),  $10^{-4}$  (4).

метно больше значения  $\mu_d$  для сильно легированных пленок [6]. Предварительное освещение приводит к уменьшению подвижности, причем степень уменьшения  $\mu_d$  зависит от уровня легирования. В качестве примера на рис. 2 показано влияние предварительного освещения на  $\mu_d$  пленок с уровнем легирования  $10^{-5}$  и  $10^{-7}$ . Для сравнения на рисунке показаны зависимости  $\mu_d(T)$ , полученные в работе [7] для образцов с  $k = 10^{-5}$  и  $10^{-6}$ , подвергнутых предварительному освещению. Характер изменения  $\mu_d$  с температурой, полученной с помощью использованной методики, близок к зависимостям  $\mu_d(T)$ , полученным другими методами [6–8]. В частности, в случае деградированных образцов это иллюстрирует рис. 2. В области температур, меньших (250–300) К, наблюдается активационная зависимость  $\mu_d(T)$ . В области комнатных температур происходит ослабление температурной зависимости  $\mu_d$ .

Остановимся более подробно на анализе поведения зависимостей  $\mu_d(T)$  в интервале (150–350) К. Если электроны захватываются на эффективный уровень, расположенный при энергии  $E_t$ , то

$$n_t/n \simeq N(E_t)/N(E_c) \exp[(E_c - E_t)/kT].$$

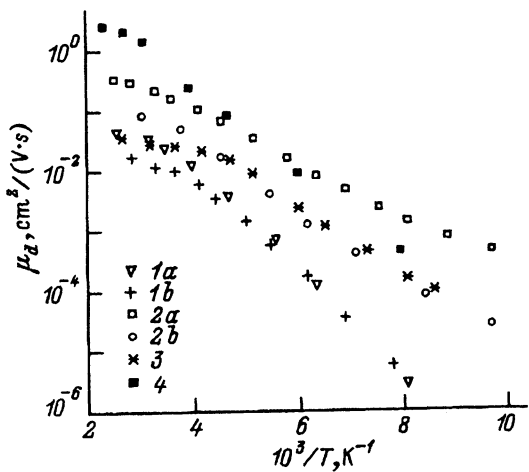


Рис. 2. Зависимости дрейфовой подвижности  $\mu_d$  от температуры для пленок в отожженном состоянии (1a, 2a) и после предварительного освещения (1b, 2b, 3, 4).

$k: 10^{-7}$  (1),  $10^{-5}$  (2),  $10^{-6}$  (3),  $10^{-5}$  (4); 3, 4 — данные работы [7].

Соответственно  $\mu_d$  экспоненциально возрастает с температурой и энергией активации  $E_c - E_t$ . В области высоких температур в рассматриваемом случае  $\mu_d$  с уменьшением  $n_t/n$  должна стремиться к  $\mu_c$ . В то же время, как видно из рис. 1, для исследованных образцов значение  $\mu_d$ , полученное экстраполяцией экспериментальных кривых в область высоких температур, существенно меньше величины  $\mu_c$ , которое в случае электронов предполагается равным  $(1-10) \text{ см}^2/(\text{В}\cdot\text{с})$  [1]. Это можно объяснить, приняв во внимание увеличение вклада в процесс захвата более глубоких состояний в щели подвижности с ростом температуры. Действительно, предположим, что по мере удаления от  $E_c$  слабая энергетическая зависимость  $N(E)$  сменяется при  $E_t$  экспоненциальной зависимостью с характерной энергией  $E_0$ , которая возрастает в глубь щели подвижности. Концентрация носителей, захваченных на уровнях прилипания, равна

$$n_t(t) = \int_{E_f}^{E_c} N(E)f(E,t)dE,$$

где  $E_f$  — уровень Ферми. Функция распределения  $f(E,t)$  определяется уровнем термализации  $E_d = E_c - kT \ln(\nu_0 t)$  [2] в случае  $E_c - E_d(t) < E_c - E_f^n(t)$ , либо квазиуровнем Ферми  $E_f^n$  в случае  $E_c - E_d(t) > E_c - E_f^n(t)$ . Если уровень  $E_d$  (либо  $E_f^n$ ) расположен в области, где  $E_0 < kT$ , то распределение захваченных носителей будет иметь максимум при энергии  $E_t$ . В этом случае концентрация носителей, захваченных вблизи  $E_t$ ,  $n_{t1} \approx n_t$ , а отношение  $n_{t1}/n$  не зависит от времени и активационно изменяется с температурой с энергией активации  $E_c - E_t$ . По мере повышения температуры  $E_d$  ( $E_f^n$ ) смещается к середине щели подвижности и попадает в область энергий, для которой  $E_0 > kT$ . При этом в распределении захваченных носителей появляется второй максимум при энергии  $E_d$  ( $E_f^n$ ) с концентрацией захваченных вблизи него электронов  $n_{t2}$ . Увеличение вклада  $n_{t2}$  в полную концентрацию захваченных носителей  $n_t$  с ростом температуры должно при-

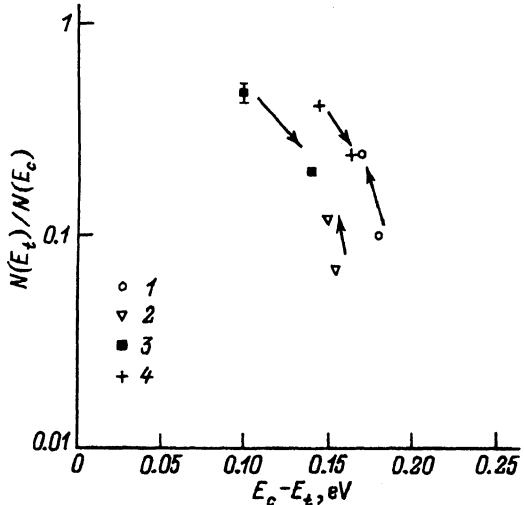


Рис. 3. Относительная плотность состояний  $N(E_t)/N(E_c)$  вблизи эффективного уровня прилипания  $E_t$  для пленок с различным уровнем легирования в отожженном состоянии и после предварительного освещения.

Стрелками показаны изменения, происходящие в результате деградации пленок.  $k$ : 10<sup>-7</sup> (1), 10<sup>-6</sup> (2), 10<sup>-5</sup> (3), 10<sup>-4</sup> (4).

вести к появлению зависимости  $n_t/n$  от времени, а также ослаблении зависимости  $\mu_d(T)$ , определяемой из нарастания фотопроводимости. Можно предположить, что в стационарных условиях поведение температурных зависимостей дрейфовой подвижности будет аналогичным, поскольку в этом случае влияние глубоких уровней прилипания может возрастать вследствие смещения квазиуровня Ферми  $E_f^n$  к середине щели подвижности с ростом температуры.

Как отмечено выше, анализ активационного участка зависимости  $\mu_d(T)$  позволяет определить положение эффективного уровня прилипания  $E_t$  и отношение  $N(E_t)/N(E_c)$ . На рис. 3 представлены значения  $N(E_t)/N(E_c)$ , полученные для исследованных образцов. Стрелками показаны изменения, происходящие в положении  $E_t$  и  $N(E_t)$  после предварительного освещения образца. На рисунке прослеживаются некоторые закономерности в изменении формы участка хвоста плотности состояний вблизи  $E_c$  при легировании и деградации. Как видно из рисунка, слабое легирование приводит к некоторому уменьшению области слабой энергетической зависимости  $N(E)$  (величина  $E_c - E_t$  уменьшается). При дальнейшем увеличении уровня легирования данная область хвоста вновь возрастает. Поскольку в материале с более упорядоченной структурой концентрация дефектов и мощность хвоста должны уменьшаться, можно предположить, что введение небольших концентраций фосфора улучшает структуру. Заметим, что на образование более упорядоченной структуры при легировании фосфором указывается в работе [11].

Согласно модели Штуцмана [12], длительное освещение приводит к росту концентрации дефектов в результате разрыва слабых связей, формирующих состояния хвостов зон. Из рис. 3 видно, что изменение  $E_c - E_t$  в результате освещения зависит как от уровня легирования, так и дозы освещения, уменьшаясь в случае слабых доз в пленках с малым уровнем легирования и возрастаая в случае больших доз в пленках с большим уровнем легирования. По-видимому, это связано с конкуренцией двух процессов, определяющих изменение хвоста плотности состояний — увеличением беспорядка вследствие роста концентрации дефектов и разрывом слабых связей, формирующих состояния хвоста.

Таким образом, проведенные исследования указывают на существенное влияние состояний глубоких ловушек на величину дрейфовой подвижности электронов в области высоких температур.

Авторы выражают искреннюю признательность В.Фусу и Х.Меллу за предоставление легированных пленок  $a\text{-Si:H}$ .

### Список литературы

- [1] J.M. Marshall, P.G. KeComber, W.E. Spear. Sol. St. Commun., **54**, 11 (1985).
- [2] T. Tiedje, A. Rose. Sol. St. Commun., **37**, 49 (1980).
- [3] J. Bullot, P. Cordier, M. Gauthier, G. Mawawa. Phil. Mag. B, **55**, 599 (1987).
- [4] K. Winer, I. Hirabayashi, L. Ley. Phys. Rev. Lett., **60**, 2697 (1988).
- [5] K. Chen, H. Fritzche. J. Non-Cryst. Sol., **59–60**, 441 (1983).
- [6] J. Takada, H. Fritzche. Phys. Rev. B, **36**, 1710 (1987).
- [7] H. Fritzche, M.Q. Tran, B.-G. Yoon, D.-Z. Chi. J. Non-Cryst. Sol., **137–138**, 639 (1991).
- [8] R.A. Street, J. Kakalios, M. Chack. Phys. Rev. B, **38**, 5603 (1988).
- [9] M. Hoheisel, W. Fuhs. Phil. Mag. B, **57**, 411 (1988).

[10] H. Overhof, M. Silver. Phys. Rev. B, **39**, 10426 (1989).

[11] C. Kawamura, I. Shimizu, J. Hanna. J. Non-Cryst. Sol., **137–138**, 697 (1991).

[12] M. Stutzmann, W.B. Jackson, C.C. Tsai. Appl. Phys. Lett., **45**, 1075 (1985).

Редактор Т.А. Полянская

---